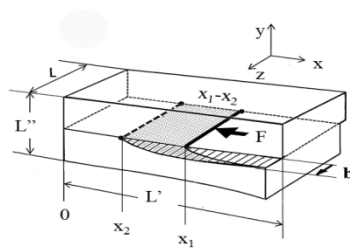
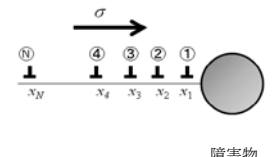
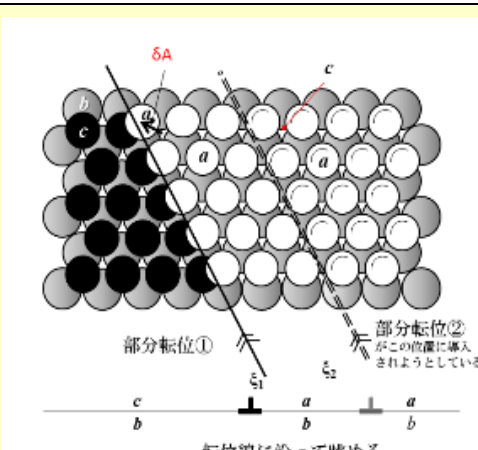
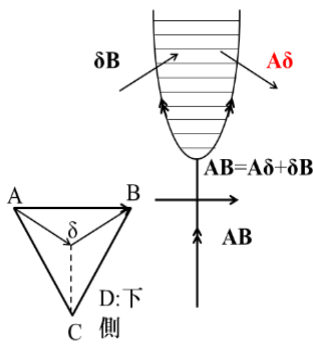
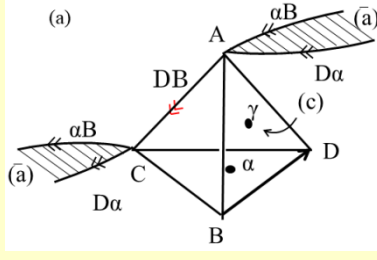
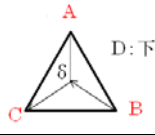
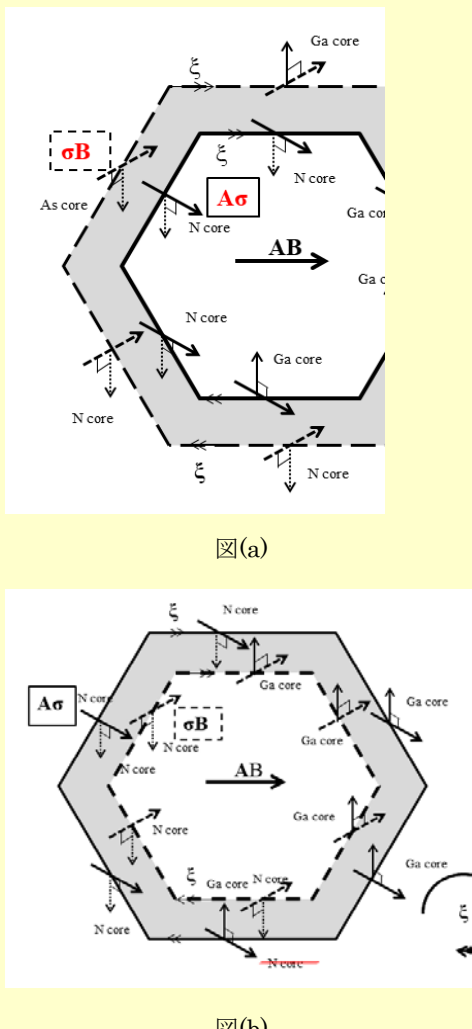


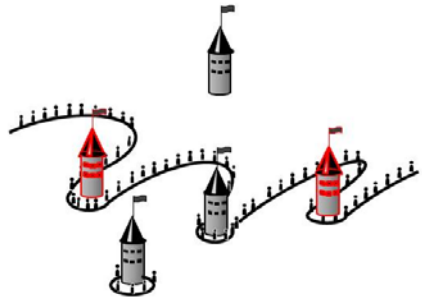
本書の内容に誤りがございました。謹んでお詫び申し上げますとともに、下記のとおり訂正申し上げます。

	(誤)	(正)	更新
目次 p.ix 1行目 11章見出し	ウルツ鋼構造	ウルツ鋳構造	2015.11.10
p.34 式(3-2)	()内2項目の分母の u	x 正しくは、 $\varepsilon_{ij} = \frac{1}{2} \left(\frac{\partial u_i}{\partial x_j} + \frac{\partial u_j}{\partial x_i} \right)$	2018.7.23
p.34 脚注の式(3-2')		$\gamma_{ij} = \frac{1}{2} \left(\frac{\partial u_i}{\partial x_j} + \frac{\partial u_j}{\partial x_i} \right)$	2018.7.23
p.34 脚注の式(3-2'')		$\varepsilon''_{ij} = \frac{1}{2} \left(\frac{\partial u_i}{\partial x_j} + \frac{\partial u_j}{\partial x_i} \right)$	2018.7.23
p.44 1行目	…45° 回転する.	…45° 回転する (図 3-6).	2016.2.19
p.46 式(3-32)	$\sigma_{zz}, \sigma_{xz}, \sigma_{yz} = 0$	$\sigma_{zz} = \sigma_{xz} = \sigma_{yz} = 0$	2018.7.23
p.49 式(3-37)	4行目の第2辺, 第2項2番目の分数の分子 の下付き文字 $\phi \rightarrow \theta$	$\varepsilon_{rr} = \frac{\partial u_r}{\partial r}$ $\varepsilon_{\theta\theta} = \frac{1}{r} \frac{\partial u_\theta}{\partial \theta} + \frac{u_r}{r}$ $\varepsilon_{\phi\phi} = \frac{1}{r \sin \theta} \frac{\partial u_\phi}{\partial \phi} + \frac{u_\theta}{r} \cot \theta + \frac{u_r}{r}$ $2\varepsilon_{\theta\phi} = \frac{1}{r} \left(\frac{\partial u_\phi}{\partial \theta} - u_\phi \cot \theta \right) + \frac{1}{r \sin \theta} \frac{\partial u_\theta}{\partial \phi} = \varepsilon''_{\theta\phi}$ $2\varepsilon_{r\phi} = \frac{1}{r \sin \theta} \frac{\partial u_r}{\partial \phi} + \frac{\partial u_\phi}{\partial r} - \frac{u_\phi}{r} = \varepsilon''_{r\phi}$ $2\varepsilon_{r\theta} = \frac{\partial u_\theta}{\partial r} - \frac{u_\theta}{r} + \frac{1}{r} \frac{\partial u_r}{\partial \theta} = \varepsilon''_{r\theta}$	2018.7.23
p.49 式(3-38)	4行目の第2式, 第2辺, 第3辺 下付き文字 $z \rightarrow r$	$\sigma_{rr} = (\lambda + 2\mu)\varepsilon_{rr} + \lambda\varepsilon_{\theta\theta} + \lambda\varepsilon_{\phi\phi}$ $\sigma_{\theta\theta} = \lambda\varepsilon_{rr} + (\lambda + 2\mu)\varepsilon_{\theta\theta} + \lambda\varepsilon_{\phi\phi}$ $\sigma_{\phi\phi} = \lambda\varepsilon_{rr} + \lambda\varepsilon_{\theta\theta} + (\lambda + 2\mu)\varepsilon_{\phi\phi}$ $\sigma_{\theta\phi} = 2\mu\varepsilon_{\theta\phi} = \mu\varepsilon''_{\theta\phi}, \sigma_{r\phi} = 2\mu\varepsilon_{r\phi} = \mu\varepsilon''_{r\phi}, \sigma_{r\theta} = 2\mu\varepsilon_{r\theta} = \mu\varepsilon''_{r\theta}$ 2018.7.23	
p.50 図の説明 2行目	(Smuur-en Auxios)	(Smur-en Auxios)	2016.2.19
p.54 図 4-2	縦の $L \rightarrow L'$		2018.7.23
p.54 下から1行目 式の左辺	σ_{xz}^x	σ_{zx}^x	2016.2.19
p.55 10行目	$\sigma_{yz}^y = \dots$	$\sigma_{zy}^y = \dots$	2018.7.23
p.56 1行目	$\sigma_{\theta z} = \mu\varepsilon_{\theta z} = \dots$	$\sigma_{\theta z} = 2\mu\varepsilon_{\theta z} = \dots$	2016.2.19
p.64 式(4-21) 最後の2行	$F_x = \dots$ $F_y = \dots$	$\frac{F_x}{L} = \dots$ $\frac{F_y}{L} = \dots$	2016.2.19

p.65 式(4-22) 最後の2行	$F_x = \dots$ $F_y = \dots$	$\frac{F_y}{L} = \dots$ $\frac{F_x}{L} = \dots$	2016.2.19
p.67 式(4-23) 最後の2行	$F_x = \dots$ $F_y = \dots$	$\frac{F_x}{L} = \dots$ $\frac{F_y}{L} = \dots$	2016.2.19
p.67 式(4-24) 下から2行目	$F_x = \dots$	$\frac{F_y}{L} = \dots$	2016.2.19
p.68 式(4-25) 下から2行目	$F_z = \dots$	$\frac{F_z}{L} = \dots$	2016.2.19
p.69 式(4-26) 2行目 下から1行目	$F_x = \dots$ $F_x = \dots$	$\frac{F_x}{L} = \dots$ $F_z = \dots$	2016.2.19
p.80 3行目	$\begin{pmatrix} T_{11} & T_{12} & T_{13} \\ T_{21} & T_{22} & T_{23} \\ T_{31} & T_{32} & T_{33} \end{pmatrix} \begin{pmatrix} -1 & 1 & 0 \\ -1 & -1 & 2 \\ 1 & 1 & 1 \end{pmatrix} \begin{matrix} \div \sqrt{2} \\ \div \sqrt{6} \\ \div \sqrt{3} \end{matrix} = \begin{pmatrix} -\frac{1}{\sqrt{2}} & \frac{1}{\sqrt{2}} & 0 \\ -\frac{1}{\sqrt{6}} & -\frac{1}{\sqrt{6}} & \frac{2}{\sqrt{6}} \\ \frac{1}{\sqrt{3}} & \frac{1}{\sqrt{3}} & \frac{1}{\sqrt{3}} \end{pmatrix}$	$\begin{pmatrix} T_{11} & T_{12} & T_{13} \\ T_{21} & T_{22} & T_{23} \\ T_{31} & T_{32} & T_{33} \end{pmatrix} \begin{pmatrix} -1 & 1 & 0 \\ -1 & -1 & 2 \\ 1 & 1 & 1 \end{pmatrix} \begin{matrix} \div \sqrt{2} \\ \div \sqrt{6} \\ \div \sqrt{3} \end{matrix} = \begin{pmatrix} -\frac{1}{\sqrt{2}} & \frac{1}{\sqrt{2}} & 0 \\ -\frac{1}{\sqrt{6}} & -\frac{1}{\sqrt{6}} & \frac{2}{\sqrt{6}} \\ \frac{1}{\sqrt{3}} & \frac{1}{\sqrt{3}} & \frac{1}{\sqrt{3}} \end{pmatrix}$	2015.8.26
p.81 式(5-7)	$\sigma_{33} = \dots \sigma_{lm}$	$\sigma_{33} = \dots \sigma'_{lm}$	2018.7.23
p.82 【問題】の 下から2行目	ここで W_s の…	ここで, $A = \frac{\mu b}{2\pi(1-\nu)}$. W_s の… <式を一つ挿入>	2016.2.19
p.91 図7-3		 障害物	2016.2.19
p.101 下から7行目	転位の向きは ξ で…	転位の向きは ξ_1 で…	2016.2.19
p.102 図8-4(b)	<ul style="list-style-type: none"> 引き出し線の $\xi A \rightarrow \delta A$ 引き出し線 c の指す位置 	 転位線に沿って眺める	2018.7.23
p.106 図8-7の説明 2行目	→は ABD の…	→は ABC の…	2016.2.19

p.107 図 8-8(b)	右の矢印の先 $\delta A \rightarrow A\delta$		2018.7.23
p.118 図 8-22(a)	DB の下の矢印の向き		2018.7.23
p.118 図 8-22(c)	右下の $D\gamma$	削除	2018.7.23
p.126 図 8-32(g) 左図			2016.2.19
p.128 図 8-34(a) 右に挿入の△の下	δ : 下側	D : 下側 <別図参照>	2015.11.10
p.131 図 8-38 キャプション	Ag 合金の SFE の…	Ag 合金の 溶解度 の…	2016.2.19
p.133 図 8-40 文献	Steel Research Inst. ,	Steel Research Int. ,	2016.2.19
p.136 図 8-44(b) キャプション	…の 8wt% を通る…	…8wt% Ni を通る…	2016.2.19
p.136 下から 9 行目	1957 年	1952 年	2016.2.19
p.140 文献 10)	(1957)	(1952)	2016.2.19
p.142 図 9-1(c),(d) キャプション	四角形 の…	四面体 の…	2016.2.19
p.154 図 10-10 文献		Crawford, R.C., Ray, I.L.F., Cockayne, D.J.H.: Phil. Mag. A27 (1973) 1	2016.2.19
p.161 図 10-20 文献	Acta Met.	Acta Met.	2018.7.23
p.162 図 10-22 文献		Physica. Stat. Sol. (a) 82 (1984) 163	2016.2.19
p.174 図 11-6(a) 文献	St. John, C.: Phil. Mag., 32 (1975) 1193	Roberts, S.G., Hirsch, P.B.: Phil. Mag. 86 (2006) 4099	2016.2.19
p.175 図 11-10 文献		Phil. Mag. A. 44 (1981) 1407	2016.2.19

p.188 図 11-24(a)(b)	<p>図(a) 破線の四角内 $\delta B \rightarrow \sigma B$ 実線の四角内 $A\delta \rightarrow A\sigma$</p> <p>図(b) 下の「N core」を削除</p>	 <p>図(a)</p> <p>図(b)</p>	2018.7.23
p.192 5行目 文献番号	2)	6)	2016.2.19
p.193 図 11-29 文献	ページ数 439	ページ数 591	2016.2.19
p.194 図 11-30 文献	ページ数 439	ページ数 591	2016.2.19
p.195 式(11-5)	$b_T^2 > b_{p1}^2 > b_{p2}^2$	$b_T^2 > b_{p1}^2 + b_{p2}^2$	2018.7.23
p.196 下から1行目	TpSD ⁵ , TpSD ⁶ , TMD ⁶ , TM'D ⁵ は…	TpSD ⁵ , TnSD ⁵ , TMD ⁵ , TM'D ⁶ は…	2016.2.19
p.196 文献5)	ページ数 439	ページ数 591	2016.2.19
p.196 文献6)	投稿中	953 (2015) 489	2016.2.19
p.198 図 12-2 文献		Jillson, D.C.: Trans. AIME, 188 (1950), 1129	2016.2.19
p.207 図 12-11 文献	ページ数 1295	ページ数 129	2016.2.19
p.207 図 12-12 文献	ページ数 1295	ページ数 129	2016.2.19
p.211 図 12-16(b)	$\epsilon_1 > \epsilon_2 > \epsilon_3$ (ϵ の上にそれぞれ・有)	$\epsilon_1 < \epsilon_2 < \epsilon_3$ (ϵ の上にそれぞれ・有)	2018.7.23
p.213 下から8行目	B	C	2016.2.19
p.215 式(12-20)	第一辺 $\dots obl^{*-}(x^*_2 - x^*_1)$	$\sigma bl^*(x^*_2 - x^*_1)$	2016.2.19
p.215 5行目	$G^0 = \dots$	$G^0 = \dots$	2016.2.19
p.225 図 12-35 文献	ページ数 243	ページ数 1243	2016.2.19
p.225 図 12-36 図(a)の文献	Sestak, B., Zarubova, N.: Phys. Stat. Soli. 10 (1965) 1031	Sestak, B., Zarubova, N.: Phys. Stat. Solidi 10 (1965) 239	2016.2.19
p.225 図 12-36	Keh, A.S.: …	Spitzig, W.A., Keh, A.S.: …	2016.2.19

図(b)の文献			
p.229 表 12-5 1 行目	軸方向 引張 圧縮	軸方向 圧縮 引張	2016.2.19
p.231 図 12-44 説明	(b)で…	(c)で…	2016.2.19
p.240 図 12-57 文献	Humphrey,J.F … by C.J.Humphreys	Humphreys,J.F … by C.J.Humphreys	2016.2.19
p.241 図 12-60(d) 要塞の位置			2015.11.10
p.242 図 12-61 文献	Brinkman,J.A.: J.A.: Appl.Phys. …	Brinkman,J.A.: J.Appl.Phys. …	2016.2.19
p.243 図 12-62 文献		Scripta Met.,9 (1975) 499	2016.2.19
p.250 下から 1 行目 の式		式番号 (13-7)	2016.2.19
p.252 下から 4 行目 ~p.253 上から 3 行目		$\therefore \tau_{back} = \frac{T}{Rb} = \frac{\mu b^2}{2Rb} = \frac{\mu b}{2R} \quad (13-11)$ $= \frac{\mu b \cos \phi}{h}$ <p>ここで, $L = 2R = h/\cos \phi$.</p> <p>これが τ_a (式 13-7) に等しいとおくと,</p> $\tau_{back} = \frac{\mu b \cos \phi}{h} = \tau_a = 2\mu b \frac{(1+\nu)}{(1-\nu)} \epsilon_o \cos \lambda \cos \phi$ $\frac{h_c}{b} = \frac{(1-\nu)}{2(1+\nu)\epsilon_o \cos \lambda} \approx \frac{1}{2\sqrt{2}\epsilon_o} \quad (13-12)$ <p>ここで $\cos \lambda = 1/\sqrt{2}$ とおいた.</p>	2016.2.19
p.252 式(13-10) 2 行目	分母の 128	分母 35	2016.2.19
p.253 (13-10)(再出) 右辺	分母の 128	分母 35	2016.2.19
p.253 (13-12)(再出) 右辺	分母の 8	分母 $2/\sqrt{2}$	2016.2.19
p.255 10 行目	で与えられるので,	$\frac{\mu b^2}{4\pi} \ln \frac{R}{r_0} \times l_0 = 1$ とおいて,	2016.2.19
p.255 下から 3 行目	β	θ_ξ	2016.2.19
p.261 図 13-20(a)	$l \sin \alpha$	$l \sin \gamma$	2016.2.19
p.261 下から 3 行目 (E=…の式の 4 行目)	式中の α	γ	2016.2.19
p.262 1 行目	Eを α の… . つまり $\alpha = \dots$	Eを γ の… . つまり $\gamma = \dots$	2016.2.19
p.263 図 A-1(a)文献		北島貞吉, 大田道雄, 海江田弘哉, 日本金属	2016.2.19

		学会誌,32 (1968) 164	
p.274 下から 7 行目	応力の逆変換 $\sigma'_{ij} = \sum_{lm} T_{ij} T_{lm} \sigma'_{lm}$	応力の逆変換 $\sigma_{ij} = \sum_{lm} T_{ij} T_{lm} \sigma'_{lm}$	2015.8.26
p.274 下から 6 行目	$\sigma'_{\square\square} = \dots$	$\sigma_{\square\square} = \dots$	2015.8.26

図 8-34

